

# کاربرد آبرمنحنی‌های بیضوی در رمزنگاری

رضا علیمرادی

استادیار گروه ریاضی و علوم کامپیوتر دانشکده علوم پایه، دانشگاه قم، قم، ایران  
r.alimoradi@qom.ac.ir; alimoradi.r@gmail.com

## چکیده

در رمزنگاری کلید عمومی برای جایگزینی سامانه‌های مبتنی بر مسئله تجزیه اعداد<sup>۱</sup> از سامانه‌های مبتنی بر مسئله لگاریتم گسسته استفاده می‌شود. در واقع رمزنگاری مبتنی بر منحنی‌های بیضوی<sup>۲</sup> (ECC) به علت این که طول کلید را به طور محسوسی نسبت به سامانه‌های مشابه RSA کاهش می‌دهند بسیار مورد توجه طراحان سامانه‌های رمزنگاری قرار گرفتند. طراحان همیشه نیازمند دست‌یابی به سامانه‌های رمزنگاری با طول کلید کمتر و سطح امنیتی بالاتر هستند؛ به همین دلیل آن‌ها به سمت استفاده از آبرمنحنی‌های بیضوی<sup>۳</sup> در رمزنگاری کشیده شدند. بنابراین ما در این مقاله به بررسی نحوه استفاده این نوع منحنی‌ها در رمزنگاری می‌پردازیم. در این پژوهش امنیت و کارایی این منحنی‌ها بررسی می‌شود.

واژگان کلیدی: رمزنگاری، مسئله لگاریتم گسسته، آبرمنحنی‌های بیضوی، ضرب اسکارلر.

## ۱- مقدمه

آبرمنحنی‌های بیضوی در بسیاری از زمینه‌های مهم پژوهشی مانند مولدهای اعداد شبه تصادفی [۱۸]، تئوری کدگذاری [۶، ۴، ۱۷]، الگوریتم‌های نظریه اعداد [۱۵، ۱۶، ۱] و رمزنگاری [۱۹، ۲۳، ۲۱، ۱۷] مورد استفاده است. در سال ۱۹۸۹ کوبلیتز<sup>۴</sup> [۲۰] پیشنهاد استفاده از ابرمنحنی‌های بیضوی را به عنوان جایگزینی برای منحنی‌های بیضوی به منظور طراحی سامانه‌های رمزنگاری مبتنی بر مسئله لگاریتم گسسته ارائه داد. نمونه‌هایی از پروتکل‌های رمزنگاری مبتنی بر ابرمنحنی‌های بیضوی در [۲۲، ۳۲، ۱۳، ۵] آورده شده است. ابرمنحنی‌های بیضوی، تعمیم یافته منحنی‌های بیضوی هستند. به عبارت دیگر یک منحنی بیضوی یک ابرمنحنی بیضوی از جنس<sup>۵</sup> یک است. کوتاه بودن طول کلید مزیت اصلی استفاده از ابرمنحنی‌های بیضوی است. بدین معنی که یک ابرمنحنی بیضوی در مقایسه با یک منحنی بیضوی برای

رسیدن به یک سطح امنیتی، نیازمند میدان منتهای کوچک‌تری است. به عبارت دیگر مرتبه گروه حاصل از تعریف یک ابرمنحنی بیضوی از جنس  $g$  بر روی یک میدان منتهای با  $q$  عنصر برابر  $q^g$  است. بنابراین برای ساختن یک گروه از مرتبه  $2^{160}$  با استفاده از منحنی‌های بیضوی ما نیازمند یک میدان منتهای با  $2^{160}$  عضو هستیم. در حالی که برای ساختن یک گروه با اندازه مذکور با استفاده از ابرمنحنی‌های بیضوی از جنس دو فقط نیازمند یک میدان منتهای با عضو  $2^{80}$  هستیم. به همین صورت برای ابرمنحنی‌های بیضوی از جنس سه و چهار به ترتیب نیازمند یک میدان منتهای با  $2^{53}$  و  $2^{51}$  هستیم [۲۳]. البته با توجه به پژوهش‌های انجام شده بر روی ابرمنحنی‌های بیضوی از جنس چهار و بالاتر، آشکار شده است که این نوع منحنی‌ها دارای سطح امنیتی کمتری هستند [۱۰]. برخلاف منحنی‌های بیضوی که ما برای حل مسئله لگاریتم گسسته امکان استفاده از الگوریتم حساب راهنما را نداریم، در ابرمنحنی‌های بیضوی، امکان استفاده از این حمله وجود دارد که این نقطه ضعفی مهم برای این منحنی‌ها در برابر منحنی‌های بیضوی است. با توجه به این که انجام محاسبات بر روی ابرمنحنی‌های

<sup>1</sup> Integer Factorization Problem

<sup>2</sup> Elliptic curve Cryptography (ECC)

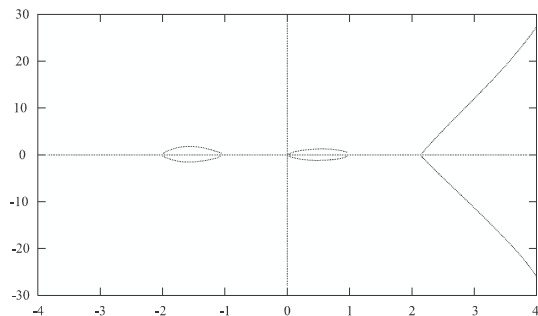
<sup>3</sup> Hyperelliptic curve

<sup>4</sup> Koblitz

<sup>5</sup> Genus

\* نویسنده عهده‌دار مکاتبات

می‌نامیم و در غیر این صورت آن را یک نقطه معمولی تعریف می‌کنیم.



شکل-۱: منحنی C بر روی R

**مثال ۵:** فرض کنیم منحنی  $C: y^2 + xy = x^5 + 5x^4 + 6x^2 + x + 3$  بر روی میدان متناهی  $Z_7$  تعریف شده باشد. بنابراین  $h(x) = x$ ،  $f(x) = x^5 + 5x^4 + 6x^2 + x + 3$  و  $g = 2$  هستند. به طور کامل مشخص است که C دارای نقطه منفرد نبوده و بنابراین C یک ابرمنحنی بیضوی است و داریم:  $C(Z_7) = \{(1,1), (1,5), (2,2), (2,3), (5,3), (5,6), (6,4)\}$ . نقطه (۶و۴) یک نقطه مخصوص است.

## ۲-۱ محاسبه مرتبه گروه ابرمنحنی بیضوی

حال روشی برای محاسبه تعداد اعضای گروه حاصل از یک ابرمنحنی بیضوی ارائه می‌دهیم. J را ژاکوبین ابرمنحنی بیضوی C تعریف شده بر روی  $F_q$  در نظر می‌گیریم.  $F_{q^n}$  را نیز بسط نام  $F_q$  و  $N_n$  را مرتبه گروه آبلی  $J(F_{q^n})$  (یعنی  $|J(F_{q^n})|$ ) در نظر می‌گیریم.  $M_n$  را نیز تعداد نقاط  $-F_{q^n}$  گویا بر روی C تعریف می‌کنیم.

**تعریف ۶:** فرض کنیم C ابرمنحنی بیضوی تعریف شده بر روی  $F_q$  باشد. به ازای  $r \geq 1$  مقدار  $M_r = |C(F_{q^r})|$  را در نظر می‌گیریم. تابع زتا<sup>۳</sup> ابرمنحنی C برابر سری توانی  $Z_C(t) = \exp\left(\sum_{r=1}^{\infty} M_r \frac{t^r}{r}\right)$  تعریف می‌کنیم.

حال به بیان خواصی از تابع زتا می‌پردازیم که از [۱۷] آورده شده‌اند.

**قضیه ۷:** فرض کنیم C ابرمنحنی بیضوی از جنس g تعریف شده بر روی  $F_q$  و  $Z_C(t)$  تابع زتای C باشد.  $Z_C(t) \in Z(t)$ ، به طور دقیق‌تر داریم:

بیضوی پیچیده‌تر است، بنابراین پیدا کردن ابرمنحنی‌های مناسب و بهبود محاسبات آنها از مهم‌ترین موارد برای عملی‌ساختن سامانه‌های رمزنگاری مبتنی بر این نوع منحنی‌ها است.

امروزه به طور کاملاً کارایی، می‌توانیم ابرمنحنی‌های از جنس سه و دو را به دست آوریم؛ به طوری که گروه حاصل دارای مرتبه تاحدودی نخست باشد.

## ۲- مبانی ریاضی

در ادامه به توضیح برخی از مبانی ریاضی مورد نیاز می‌پردازیم.

**تعریف ۱:** فرض کنیم  $\bar{K}$  بستار جبری میدان K باشد. یک ابرمنحنی بیضوی از جنس<sup>۱</sup> g (درجه)  $(g \geq 1)$  بر روی K برابر است با معادله:

$$(1) \quad C: y^2 + h(x)y = f(x) \in K[x, y]$$

بطوریکه  $h(x) \in K[x]$  یک چندجمله‌ای حداکثر از درجه  $2g+1$  هستند و در ضمن این معادله و نیز معادلات مشتقات جزیی آن یعنی  $h'(x)y - f'(x) = 0$  و  $2y + h(x) = 0$  دارای جواب مشترک بر روی  $\bar{K}$  نیستند. نقطه  $(x, y) \in \bar{K} \times \bar{K}$  بر روی منحنی C را یک نقطه منفرد<sup>۲</sup> می‌نامیم؛ هرگاه این نقطه به طور هم‌زمان جواب هر سه معادله اشاره شده در بالا باشد.

**تعریف ۲:** فرض کنیم L یک میدان گسترش یافته از میدان K باشد. مجموعه  $C(L)$  عبارت است از همه نقاط  $P = (u, v) \in L \times L$  به طوری که در رابطه (۱) صدق می‌کنند به همراه یک نقطه در بی‌نهایت که با  $\infty$  نمایش داده می‌شود. مجموعه  $C(\bar{K})$  به طور خلاصه C نامیده می‌شود.

**مثال ۳:** ابرمنحنی بیضوی با  $g = 2$  و  $h(x) = 0$  بر روی میدان اعداد حقیقی معرفی می‌کنیم.

$$C: y^2 = x^5 - 5x^3 + 4x \\ = x(x-1)(x+1)(x-2)(x+2).$$

**تعریف ۴:** فرض کنیم  $P = (x, y)$  یک نقطه متناهی بر روی منحنی C باشد. نقطه مقابل P برابر  $\tilde{P} = (x, -y - h(x))$  است، به طوری که  $\tilde{P}$  بر روی C است. در ضمن نقطه مقابل  $\infty$  را برابر خودش در نظر می‌گیریم. اگر یک نقطه متناهی P در شرط  $P = \tilde{P}$  صدق کند، آن را یک نقطه مخصوص

<sup>1</sup> Genus  
<sup>2</sup> Singular

<sup>3</sup> Zeta

۵- مقدار  $N_n = |1 - \alpha_1^n|^2 \cdot |1 - \alpha_2^n|^2$  نتیجه می‌شود.  
**نتیجه ۸:** فرض کنیم  $C$  ابرمنحنی بیضوی از جنس  $g$  تعریف شده بر روی  $F_q$  و  $N_n = |J(F_q)|$  باشد. آن گاه رابطه  

$$\left(q^{\frac{n}{2}} - 1\right)^{2g} \leq N_n \leq \left(q^{\frac{n}{2}} + 1\right)^{2g}$$
 برقرار است و بنابراین  

$$N_n \approx q^{ng}$$

اثبات: نتیجه بالا از قضیه (iii) به دست می‌آید.

**مثال ۹:** فرض کنیم  $C$  از جنس ۲ بر روی  $F_2$  با معادله  
 $C: y^2 + y = x^5 + x^3 + x$  باشد. با استفاده از جستجوی  
 جامع مقادیر  $M_1 = 3, M_2 = 9$  را می‌یابیم. بنابراین  
 $a_1 = 0, a_2 = 2$  هستند. جواب‌های معادله  $x^2 - 2 = 0$  برابر  
 $\lambda_1 = \sqrt{2}, \lambda_2 = -\sqrt{2}$  است. با حل معادله  
 $x^2 - \sqrt{2}x + 2 = 0$  جواب  $\alpha_1 = \frac{\sqrt{2} + \sqrt{6}i}{2}$  را و با حل  
 معادله  $x^2 + \sqrt{2}x + 2 = 0$  جواب  $\alpha_2 = \frac{-\sqrt{2} + \sqrt{6}i}{2}$  را  
 به دست می‌آوریم. بنابراین داریم:

$$N_n = |1 - \alpha_1^n|^2 \cdot |1 - \alpha_2^n|^2 = \begin{cases} 2^{2n} + 2^n + 1 & n \equiv 1, 5 \pmod{6} \\ \left(2^n + 2^{\frac{n}{2}} + 1\right)^2 & n \equiv 2, 4 \pmod{6} \\ (2^n - 1)^2 & n \equiv 3 \pmod{6} \\ \left(2^{\frac{n}{2}} - 1\right)^4 & n \equiv 0 \pmod{6} \end{cases}$$

حال به ازای  $n = 101$  داریم:

$$N_{101} = 64277521770359611021678483693671$$

$$85711289268433934164747616257.$$

## ۲-۲ حملات

در این قسمت برخی از حملات ارائه شده به آبرمنحنی‌های  
 بیضوی را بررسی می‌کنیم. ده سال بعد از این که کوبلیتز ابر  
 منحنی‌های بیضوی را برای رمزنگاری (تبادل کلید دیفی-  
 هلمن) معرفی کرد، بهترین حملات شناخته شده برای مسئله  
 لگاریتم گسسته بر روی این نوع منحنی‌ها الگوریتم‌های ریشه  
 مربع<sup>۱</sup> بودند. الگوریتم‌های ریشه مربع الگوریتم‌های عمومی  
 هستند که برای حل مسئله لگاریتم گسسته در هر گروهی  
 به کار می‌روند که شامل الگوریتم‌های قدم کوچک-قدم بزرگ  
 شانک<sup>۲</sup>، پلارد<sup>۳</sup> و الگوریتم پلیگ-هلمن<sup>۱</sup> هستند. زمان اجرای

<sup>۱</sup> Square root  
<sup>۲</sup> Shanks Baby-Step Giant-Step  
<sup>۳</sup> Pollard

$Z_C(t) = \frac{P(t)}{(1-t)(1-qt)}$  به طوری که  $P(t)$  یک  
 چندجمله‌ای از درجه  $2g$  با ضرایب صحیح است. در حقیقت  
 $P(t)$  به صورت زیر است:

$$P(t) = 1 + a_1 t + \dots + a_{g-1} t^{g-1} + a_g t^g + q a_{g-1} t^{g+1} +$$

$$q^2 a_{g-2} t^{g+2} + \dots + q^{g-1} a_1 t^{2g-1} + q^g t^{2g}.$$

ii.  $P(t)$  به صورت  $P(t) = \prod_{i=1}^g (1 - \alpha_i t)(1 - \bar{\alpha}_i t)$

تجزیه می‌شود به طوری که هر  $\alpha_i$  یک عدد مختلط  
 با قدر مطلق  $\sqrt{q}$  بوده و  $\bar{\alpha}_i$  مزدوج آن است.

iii. مقدار  $N_n = |J(F_q)|$  برابر است با

$$N_n = \prod_{i=1}^g |1 - \alpha_i^n|^2$$

بنابراین برای محاسبه  $N_n$  کافی است که (i) ضرایب  
 $a_1, a_2, \dots, a_g$  چندجمله‌ای  $P(t)$  را تعیین کنیم، (ii)  
 را تجزیه کرده و  $\alpha_i$ ها را به دست می‌آوریم، (iii) با استفاده  
 از رابطه بالا مقدار  $N_n$  را می‌یابیم. حال بدین منظور،  
 اقدامات زیر را انجام می‌دهیم:

$$Z_C(t) = \frac{P(t)}{(1-t)(1-qt)}$$

$$\Rightarrow P(t) = (1-t)(1-qt)Z_C(t).$$

اکنون از طرفین رابطه بالا لگاریتم گرفته و سپس  
 نسبت به  $t$  مشتق می‌گیریم. بنابراین داریم:

$$\frac{P'(t)}{P(t)} = \sum_{r \geq 0} (M_{r+1} - 1 - q^{r+1}) t^r.$$

از آنجا که در دو طرف تساوی بالا ضرایب  
 $t^0, t^1, \dots, t^{g-1}$  برابر هستند. بنابراین  $g$  مقدار نخست  
 $M_1, \dots, M_g$  برای تعیین ضرایب  $a_1, \dots, a_g$  و در نتیجه  
 $N_n$  کافی هستند. اکنون روند محاسبه  $N_n$  را برای حالت  
 $g=2$  به طور خلاصه بیان می‌کنیم:

۱- با استفاده از جستجوی جامع مقادیر  $M_1, M_2$  را

می‌یابیم.

۲- ضرایب  $Z_C(t)$  را با استفاده از روابط

$$a_1 = M_1 - 1 - q, a_2 = \frac{M_2 - 1 - q^2 + a_1^2}{2}$$

می‌آوریم.

۳- معادله  $x^2 + a_1 x + (a_2 - 2q) = 0$  را حل کرده تا

جواب‌های  $\lambda_1, \lambda_2$  را بیابیم.

۴- معادلات  $x^2 - \lambda_1 x + q = 0, x^2 - \lambda_2 x + q = 0$

حل می‌کنیم تا به ترتیب جواب‌های  $\alpha_2, \alpha_1$  را

بیابیم.

$$O\left(g^5 q^{\left(\left(\frac{g-1}{2}\right)\left(\frac{g+1}{2}\right)\right)+\varepsilon}\right)$$

باشد، آن گاه این زمان برابر

$$O\left(g^5 q^{2-\frac{4}{2g+1}+\varepsilon}\right)$$

است [۳۱] و بسا فرض

$$O\left(g^5 q^{2-\frac{2}{g}+\varepsilon}\right)$$

این زمان برابر  $|P_B| = O\left(g^2 q^{((g-1)/g)+\varepsilon}\right)$  است [۱۲].

**قضیه ۱۳:** به ازای  $t > \frac{g}{\ln(q)}$  مسئله لگاریتم گسسته در  $J_C(F_q)$  یک ابر منحنی بیضوی از درجه  $g$  بر روی  $F_q$  حداکثر دارای پیچیدگی  $L_{q^g}\left(\frac{1}{2}, \sqrt{2}\left[\left(1+\frac{1}{2t}\right)^{\frac{1}{2}} + \left(\frac{1}{2t}\right)^{\frac{1}{2}}\right]\right)$  است [۷،۸].

همان طور که گفته شد یک حمله حساب راهنما با پیچیدگی  $O\left(g^5 q^{2-\frac{2}{g}+\varepsilon}\right)$  وجود دارد و به ازای  $g=3,4$  امنیت کمتر نیز است. به ازای ابر منحنی بیضوی از درجه  $g=4$  که بر روی  $F_2$  تعریف شده، می توانیم مسئله لگاریتم گسسته در  $J_C(F_q)$  را با پیچیدگی  $O\left(q^{\frac{3}{2}+\varepsilon}\right) = O\left(|J_C(F_q)|^{0.375}\right)$  حل کنیم.

بنابراین مسئله لگاریتم گسسته در این مورد از حالت کلی ذکر شده ضعیف تر است. به ازای  $g=3$  این پیچیدگی برابر  $O\left(q^{\frac{4}{3}+\varepsilon}\right) = O\left(|J_C(F_q)|^{0.44}\right)$  است. این نشان می دهد که به طور تقریبی ابر منحنی های از درجه  $g=3$  از منحنی های بیضوی ضعیف تر هستند. بنابراین می توان گفت که به ازای ابرمنحنی های بیضوی از درجه  $g \geq 5$  حمله حساب راهنما قابل اعمال بوده و بنابراین برای استفاده در رمزنگاری کلید عمومی مناسب نیستند و یا در صورت استفاده از آن ها باید اندازه گروه را به طور مناسبی افزایش دهیم. همچنین از میان ابرمنحنی هایی بیضوی از درجات دیگر یعنی  $g=1,2,3,4$  به ازای  $g=3,4$  نیز باید اندازه گروه به گونه ای انتخاب شود که حملات حساب راهنما ارائه شده نظیر [۳۱] بر روی آن قابل اعمال نباشد.

یکی دیگر از انواع حملات موجود بر روی ابرمنحنی های بیضوی حمله کاهش ویل<sup>۳</sup> است. این حمله در صورتی که یا میدان متناهی مرکب باشد، یعنی به صورت  $F_{p^m}$  به طوری که  $m$  مرکب باشد، عملی است و یا  $m$  عددی اول است که به ازای یک عدد کوچک  $t$  در رابطه

الگوریتم های نخست و دوم برابر مجذور اندازه گروه و زمان اجرای الگوریتم سوم برابر مجذور بزرگ ترین عامل نخست مرتبه گروه است. از آن جا که در کاربردهای رمزنگاری، مرتبه گروه یا نخست و یا تاحدودی نخست است بنابراین تمام این الگوریتم ها را دارای زمان ریشه مربع می نامیم. نخستین الگوریتم حساب راهنما برای حل مسئله لگاریتم گسسته بر روی ژاکوبین یک ابرمنحنی بیضوی توسط آدلمن و همکارانش [۲] ارائه شد. در ضمن حمله حساب راهنمای ارائه شده در [۱۰] نیز نخستین نمونه از یک حمله عمومی به مسئله لگاریتم گسسته تعریف شده بر روی ژاکوبین یک ابر منحنی بیضوی با درجه (جنس) کوچک بود که زمان اجرایی کمتر از مجذور مرتبه گروه را داشت. البته فرض بر این است که درجه ابر منحنی ها بزرگ تر از چهار است. حال در این قسمت به بیان برخی تعاریف و قضایای مورد نیاز می پردازیم.

**تعریف ۱۰:** فرض کنیم  $D_1, D_2$  دو عنصر عضو  $J_q$  باشند به طوری که  $D_2 \in \langle D_1 \rangle$  مسئله لگاریتم گسسته بر روی ژاکوبین یک ابرمنحنی بیضوی به ازای جفت  $(D_1, D_2)$  برابر محاسبه کوچک ترین عدد صحیح  $\lambda \in N$  است، به طوری که  $D_2 = \lambda D_1$ .

**قضیه ۱۱:** فرض کنیم  $C$  یک ابرمنحنی بیضوی از درجه  $g$  بر روی میدان متناهی  $F_q$  باشد اگر  $\ln q \leq (2g+1)^{1-\varepsilon}$  باشد آن گاه ثابت  $c \leq 2.181$  وجود دارد، به طوری که مسئله لگاریتم گسسته در  $J_C(F_q)$  در زمان  $L_{q^{2g+1}}\left(\frac{1}{2}, c\right)$  قابل محاسبه باشد [۲].

**قضیه ۱۲:** فرض کنیم  $C$  یک ابرمنحنی بیضوی از درجه  $g$  بر روی میدان متناهی  $F_q$  تعریف شده باشد. اگر  $g > q!$  باشد آن گاه مسئله لگاریتم گسسته در  $J_C(F_q)$  در زمان  $O\left(g^3 q^{2+\varepsilon}\right)$  قابل محاسبه است [۱۰].

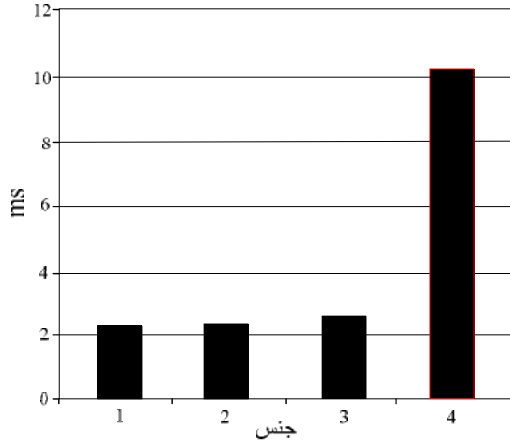
البته بهبودهای زیادی برای الگوریتم حساب راهنما بر روی ابر منحنی های بیضوی ارائه شده است که ما در اینجا به نتایج برخی از آن ها اشاره می کنیم:

فرض کنیم اندازه پایه تجزیه  $(P_B)$  برابر  $O\left(g^2 q^{(g/(g+1))+\varepsilon}\right)$  باشد و  $C$  یک ابر منحنی بیضوی با درجه  $g$  بر روی میدان متناهی  $F_q$  باشد، اگر  $g > q!$  باشد آن گاه مسئله لگاریتم گسسته در  $J_C(F_q)$  در زمان  $O\left(g^5 q^{2-\frac{2}{g+1}+\varepsilon}\right)$  قابل حل است [۲۶]. حال اگر اندازه پایه تجزیه برابر

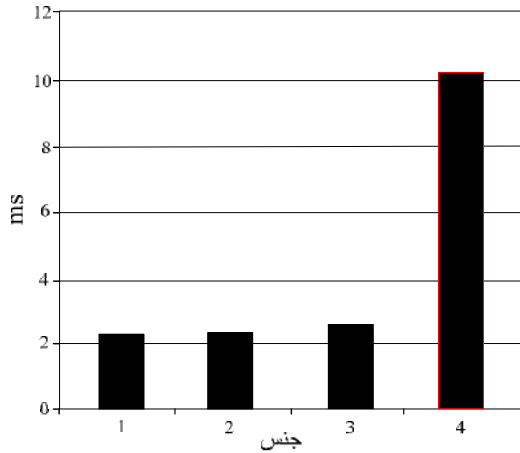
<sup>1</sup> Polling-Hellman

<sup>2</sup> Adelman, DeMarrais, Hang

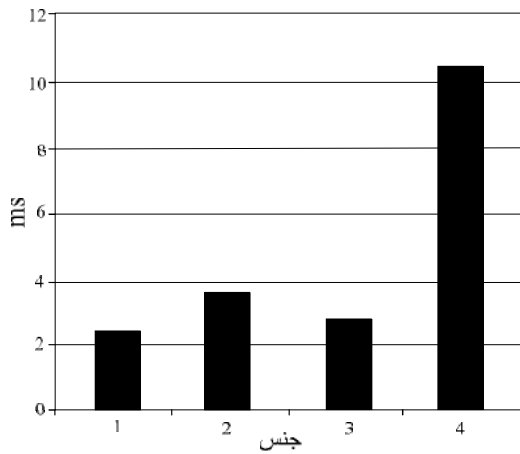
<sup>3</sup> Weil Descent



(شکل-۲): مقایسه ضرب اسکالر بر روی Pentium 4 @ 1.8GHZ به ازای سطح امنیتی  $2^{163}$  [۳۳]



(شکل-۲): مقایسه ضرب اسکالر بر روی Pentium 4 @ 1.8GHZ به ازای سطح امنیتی  $2^{163}$  [۳۳]



(شکل-۳): مقایسه ضرب اسکالر بر روی Pentium 4 @ 1.8GHZ به ازای سطح امنیتی  $2^{180}$  [۳۳]

بنابراین  $m$  نباید عدد اول صدق کند.  $(2' \equiv 1 \pmod{m})$  مرسن<sup>۱</sup> و یا عدد اول فرما<sup>۲</sup> باشد. در صورت وقوع چنین حالاتی با استفاده از الگوریتم GHS و بهبودهای آن [۱۱] می‌توانیم مسئله لگاریتم گسسته را حل کنیم. بنابراین برای مقابله با این حمله منحنی مورد نظر باید یا بر روی یک میدان متناهی نخست به صورت  $F_p$  تعریف شود و یا این‌که میدان متناهی به صورت  $F_{p^m}$  باشد که  $m$  یک عدد اول باشد به طوری که مرتبه عدد  $۲$  در گروه ضربی به هنگ  $p$  مقدار بزرگی باشد؛ یعنی در رابطه  $2' \equiv 1 \pmod{p}$  مقدار  $t$  بزرگ باشد.

### ۳- مقایسه بین HECC و ECC

حال برخی از نتایج ارائه شده در رابطه با مقایسه بین HECC و ECC را ارائه می‌دهیم.

- ECC با مختصات تصویری به طور تقریبی در همه موارد کاراترین سامانه است؛
- ضرب اسکالر HECC با درجه  $g=3$  و  $h(x)=1$  همیشه سریع‌تر از HECC با درجه  $g=2$  است؛
- ضرب اسکالر HECC با درجه  $g=3$  در بیشتر موارد از ECC با مختصات آفینی سریع‌تر است؛
- به ازای سطح امنیتی یکسان پیاده‌سازی نرم‌افزاری HECC با درجه‌های  $g=2,3$  و ECC کارایی مشابهی دارند. در صورتی که برای پیاده‌سازی سخت‌افزاری HECC با درجات  $g=2,3$  نسبت به ECC کاراتر است.
- ضرب اسکالر HECC از درجات  $g=2,3$  و ECC با مختصات آفینی در صورتی که نسبت عمل ضرب به عمل معکوس کردن  $\left(\frac{M}{I}\right)$  کوچک باشد، با هم برابرند و در صورتی که این نسبت بزرگ باشد، آن‌گاه HECC با درجات  $g=2,3$  از ECC با مختصات آفینی کاراتر است.
- در صورتی که نسبت  $\frac{M}{I}$  کوچک باشد، HECC با درجه  $g=2$  بسیار کارا است و اگر این نسبت بزرگ باشد HECC با درجه  $g=3$  کاراتر است.

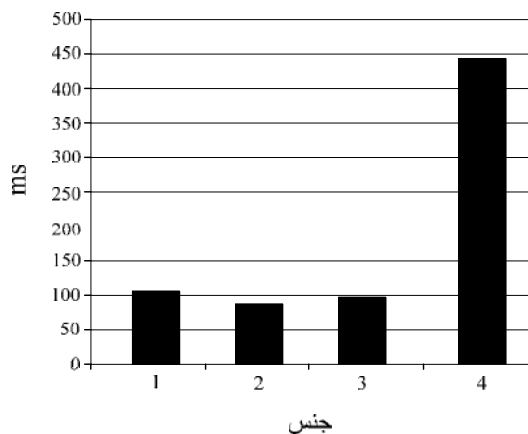
<sup>1</sup> Mersene  
<sup>2</sup> Fermat

به طور معمول در کاربردهایی که پردازنده‌های تعبیه‌شده کم هزینه استفاده می‌شود، نیاز به سطح امنیتی پایین‌تری داریم؛ در عمل یک گروه از مرتبه<sup>2128</sup> کافی است. این سطح امنیتی به طور تقریبی بالاتر از سطح امنیتی حاصل از RSA-512 است [۲۶-۳۰]. نمونه‌هایی از طراحی و پیاده‌سازی پردازنده‌های ویژه برای ابرمنحنی‌های بیضوی [۹،۳] آورده شده است.

#### ۴- توابع زوج‌سازی بر روی ابرمنحنی‌های

##### بیضوی

فرض کنیم  $C$  یک ابرمنحنی بیضوی با درجه  $g$  تعریف‌شده بر روی  $F_q$  باشد. همچنین فرض کنیم  $r$  یک عدد اول باشد.  $C$  را یک ابرمنحنی بیضوی از درجه  $g$  تعریف‌شده بر روی  $F_q$  در نظر می‌گیریم؛ به طوری که  $J(F_q) \neq r$ ،  $\gcd(r, g) = 1$ . همان‌طور که می‌دانیم درجه تعبیه  $J(F_q)$  نسبت به  $r$  برابر است با کوچک‌ترین عدد صحیح  $k$  به طوری که  $r \mid (q^k - 1)$  به معادل درجه تعبیه  $J(F_q)$  نسبت به  $r$  برابر کوچک‌ترین عدد صحیح  $k$  است؛ به طوری که  $F_{q^k}^*$  شامل گروه  $\mu_r$  (ریشه‌های  $r$ ام واحد) است. یکی دیگر از پارامترهای مهم در توابع زوج‌سازی پارامتری به نام  $\rho$ -value است که به صورت  $\rho = \frac{g \log q}{\log r}$  تعریف می‌شود. این پارامتر به طور تقریبی برابر نسبت طول بیت  $\#J(F_q)$  و طول بیت زیرگروه از مرتبه  $r$  است. یک ژاکوبین با تعداد اعضای اولی دارای کوچک‌ترین مقدار  $\rho$ -value ( $\rho \approx 1$ ) است. ابرمنحنی‌های بیضوی را که ژاکوبین آن‌ها دارای درجه تعبیه کوچک و نیز دارای یک زیرگروه از مرتبه اول بزرگ باشد مناسب استفاده در توابع زوج‌سازی یا به اصطلاح زوج‌سازی پسند<sup>۲</sup> می‌نامیم. در عمل مقادیر  $k \leq 60$ ،  $r > 2^{160}$  مورد نیاز است. همان‌طور که در قبل اشاره شد، بهترین حمله به مسئله لگاریتم گسسته الگوریتم  $\rho$ -پلارد است که به صورت موازی پیاده‌سازی شده است. زمان اجرای این الگوریتم برابر  $O(\sqrt{r})$  است که  $r$  اندازه بزرگ‌ترین زیرگروه نخست  $J(F_q)$  است. به ازای ابرمنحنی‌هایی از درجه  $g = 3, 4$  حمله حساب راهنما به ترتیب با پیچیدگی‌های زیر موجود است:



(شکل-۴): مقایسه ضرب اسکالر به ازای سطح امنیتی  $2^{163}$  بر روی ARM 7 TDMI @ 80MHZ [۳۳]

همان‌طور که مشاهده می‌کنیم در پیاده‌سازی سخت‌افزاری برای سطح امنیتی معادل  $2^{160}$  منحنی HECC با درجه  $g=2$  از HECC با درجه  $g=3$  کارتر است، در حالی که برای سطح امنیتی  $2^{180}$  برعکس می‌باشد [۳۴]. تا قبل از این باور، بر این بود که با توجه به این که هزینه محاسبات HECC با درجه  $g=4$  بسیار بیشتر از HECC با درجات کوچک‌تر است؛ بنابراین HECC با درجه  $g=4$  برای کاربردهای عملی مناسب نیست. اما نتایج جدید به دست آمده نشان می‌دهد که برای کاربردهای با سطح امنیتی پایین HECC با درجه  $g=4$  از HECC با درجه  $g=2$  سریع‌تر بوده و از نظر کارایی با HECC با درجه  $g=3$  برابری کرده و حتی می‌تواند جایگزینی برای ECC باشد. همچنین در پیاده‌سازی سخت‌افزاری برای کاربردهای با سطح امنیتی پایین مانند گروه‌هایی با مرتبه  $2^{128}$  محاسبات HECC از درجه  $g=4$  تا حدودی  $1.46$  برابر سریع‌تر از محاسبات HECC از درجه  $g=2$  بوده و کارایی مشابهی با HECC از درجه  $g=3$  دارند. در ضمن در مقایسه با HECC از درجات  $g=2, 3$  HECC از درجه  $g=4$  برای پیاده‌سازی در ریزپردازنده‌های تعبیه‌شده<sup>۱</sup> مناسب‌تر از پردازنده‌های با اهداف کلی است. برای دستیابی به سطح امنیتی معادل با  $2^{128}$  می‌توانیم یک ابرمنحنی بیضوی از درجه  $g=4$  را بر روی یک میدان متناهی  $F_{2^{32}}$  تعریف کنیم. بنابراین پیاده‌سازی این منحنی‌ها بر روی پردازنده‌های ۳۲ بیتی بسیار کارا خواهد بود. این پیاده‌سازی نسبت به HECC با درجه  $g=2$  کارتر و تا حدودی با نسبت به HECC با درجه  $g=3$  برابری می‌کند.

<sup>2</sup> Pairing-friendly

<sup>1</sup> Embedded Microprocessors

زیرنمایی نسبت به اندازه میدان است. بنابراین برای دست‌یابی به سطح امنیتی یکسان در هر دو گروه (گروه ضربی حاصل از میدان متناهی و گروه ژاکوبین حاصل از یک ابرمنحنی) باید اندازه  $q^k$  (گسترش‌یافته میدان) به‌طور مشخص از  $\Gamma$  بزرگ‌تر باشد. در جدول زیر مثال‌هایی برای اندازه زیرگروه، اندازه میدان گسترش‌یافته و اندازه درجه تعبیه به‌ازای سطح امنیتی یکسان ذکر شده است که در رابطه  $r \approx q^{g/\rho}$  صدق می‌کنند. زیرگروه‌ها از مرتبه نخست و میدان‌های گسترش‌یافته (با مشخص‌های بزرگ) استاندارد NIST هستند.

$$O\left(q^{\frac{3}{2}+\varepsilon}\right) = O\left(|J(F_q)|^{\frac{3}{8}+\varepsilon}\right), O\left(q^{\frac{4}{3}+\varepsilon}\right) = O\left(|J(F_q)|^{\frac{4}{9}+\varepsilon}\right)$$

برای مقایسه با الگوریتم  $\rho$  - پلارد موازی‌سازی شده که وابسته به اندازه زیرگروه از مرتبه  $\Gamma$  است، می‌توان گفت که اگر  $\rho < \frac{9}{8}$  برای حالت  $g=3$  و همچنین  $\rho < \frac{4}{3}$  برای حالت  $g=4$  باشد، آن‌گاه حمله حساب راهنما به کران بالای حمله  $\rho$  - پلارد می‌رسد. به‌رحال بهترین الگوریتم برای حل مسئله لگاریتم گسسته برای ابرمنحنی‌های از درجه  $g=2,3,4$  دارای زمان اجرای نامایی هستند. از سوی دیگر بهترین الگوریتم برای محاسبه لگاریتم گسسته در میدان متناهی حمله حساب راهنما است که دارای زمان اجرای

(جدول-۶): درجه تعبیه به‌ازای ابرمنحنی‌های بیضوی از جنس  $g=2$  به‌ازای سطح امنیتی یکسان [26]

سطح امنیتی ( بیت )	اندازه زیرگروه (r)	اندازه میدان گسترش‌یافته ( $q^k$ )	درجه تعبیه (k)					
			$\rho \approx 1$	$\rho \approx 2$	$\rho \approx 3$	$\rho \approx 4$	$\rho \approx 6$	$\rho \approx 8$
80	160	1024	6g	3g	2g	1.5g	g	0.8g
112	224	2048	10g	5g	3.3g	2.5g	1.6g	1.3g
128	256	3072	12g	6g	4g	3g	2g	1.5g
192	384	7680	20g	10g	6.6g	5g	3.3g	2.5g
256	512	15360	30g	15g	10g	7.5g	5g	3.8g

مشابه با پیاده‌سازی زوج‌سازی تیت است. همچنین نشان داده شده است که بر روی ابرمنحنی‌های بیضوی از درجه  $g=2$  زوج‌سازی موسوم به زوج‌سازی  $\eta_T$  نسبت به زوج‌سازی  $\eta$  کارا تر است.

درضمن نتایج ارائه‌شده در [26] نشان می‌دهد که پیاده‌سازی زوج‌سازی  $\eta_T$  بر روی ابرمنحنی‌های از درجه  $g=2$  نسبت به پیاده‌سازی زوج‌سازی  $\eta_T$  بر روی منحنی‌های بیضوی بالا تکین تعریف‌شده بر روی  $F_{2^m}$  بسیار کارا تر است.

از نتایج دیگر ذکر شده در [26] می‌توان به این نکته اشاره کرد که محاسبه تابع زوج‌سازی بر روی ابرمنحنی‌های از درجه  $g=3$  در مقایسه با ابرمنحنی‌های از درجه  $g=2$  بسیار ناکارآمد است.

زمان پیاده‌سازی یک تابع زوج‌سازی بر روی ابرمنحنی‌های از درجه  $g=2$  تعریف‌شده بر روی  $F_p$  به‌طور تقریبی دو برابر زمان پیاده‌سازی زوج‌سازی بر روی منحنی‌های بیضوی تعریف‌شده بر روی  $F_p$  است. برای این‌که این فاصله زمانی را کاهش دهیم لازم است از ابرمنحنی‌های بیضوی بالا تکین از درجه  $g=2$  استفاده کنیم.

جدول بالا به‌ازای  $\rho \approx 2$  است. برای  $g=2,3,4$  نیز می‌توانیم به‌صورت زیر عمل کنیم:

اگر مرتبه ژاکوبین به‌طور تقریبی، نخست ( $\rho \approx 1$ ) باشد آن‌گاه ما نیازمند تنظیم پارامترها برای مقابله با حمله حساب راهنما هستیم. برای  $g=3$  ستون دوم جدول بالا را در مقدار  $\frac{9}{8}$  و ستون چهارم را در مقدار  $\frac{8}{9}$  ضرب می‌کنیم. برای  $g=4$  ستون دوم را در مقدار  $\frac{4}{3}$  و ستون چهارم را در مقدار  $\frac{3}{4}$  ضرب می‌کنیم. درجه تعبیه برای ابرمنحنی‌های بالا تکین از جنس  $g=2$  در رابطه  $k \leq 12$  صدق می‌کند. برای ابرمنحنی‌های بیضوی معمولی از جنس  $g=2$  در حالت‌های خاص نیز در رابطه  $k \leq 12$  صدق می‌کنند.

سریع‌ترین پیاده‌سازی ارائه‌شده برای توابع زوج‌سازی برای تابع زوج‌سازی  $\eta_T$  است که از یک ابرمنحنی بیضوی بالا تکین از درجه  $g=2$  تعریف‌شده بر روی میان متناهی با مشخص دو استفاده می‌کند. درجه تعبیه در این مورد برابر ۱۲ است [26]. در [26] نشان داده شده است که پیاده‌سازی زوج‌سازی موسوم به زوج‌سازی  $\eta$  بر روی ابرمنحنی‌های از درجه  $g=2$  به‌طور تقریبی دارای کارایی



## ۴- نتیجه گیری

در این مقاله به معرفی ابرمنحنی‌های بیضوی پرداختیم و سعی کردیم، مقایسه‌هایی از نظر امنیت و کارایی انواع مختلف این منحنی‌ها ارائه دهیم. بنابراین به‌طور خلاصه می‌توان چنین نتیجه‌گیری کرد که به‌ازای ابرمنحنی‌های بیضوی از درجه  $g \geq 5$  حمله حساب راهنما قابل اعمال بوده و بنابراین برای استفاده در رمزنگاری کلید عمومی مناسب نیستند. در کاربردهایی که نیاز به سطح امنیتی پایین‌تری داریم، مانند شبکه‌های حس‌گر که دارای پردازنده‌های تعبیه‌شده کم‌هزینه هستند و در آنها الگوریتم‌های رمزنگاری با طول کلید کوچک‌تر استفاده می‌شوند، می‌توانیم از ابرمنحنی‌های بیضوی از جنس  $g = 2, 3, 4$  استفاده کنیم.

## ۵- مراجع

- Cryptography: HECC, is Also Ready for RFID," in Proceedings of the 4th International Conference for Internet Technology and Secured Transactions, 2009. (ICITST 2009), London, UK, 2009, pp. 1-6.
- [10] P. Gaudry, An algorithm for solving the discrete log problem on hyperelliptic curves, *Advances in Cryptology – Eurocrypt 2000*, vol. 1807, Springer-Verlag, Berlin, 19–34, 2000.
- [11] P. Gaudry, F. Hess, N. P. Smart, Extending the GHS Weil-descent attack, *Advances in Cryptology – Eurocrypt 2002, Lecture Notes in Comput. Sci.*, vol. 2332, Springer-Verlag, Berlin, 29–44, 2002.
- [12] P. Gaudry, N. The'riault, E. Thome, A double large prime variation for small genus hyperelliptic index calculus, preprint, 2004. <http://eprint.iacr.org/2004/153/>
- [13] T. Gomathi, V. Manju, and N. Anuradha, An Efficient Blind Signature Authentication for Wireless Sensor Networks Using HECC, *International Journal of Innovation and Scientific Research ISSN 2351-8014 Vol. 10 No. 1 Oct. 2014*, pp. 6-18 © 2014 Innovative Space of Scientific Research Journals <http://www.ijisr.issr-journals.org/>
- [14] G. van der Geer, Codes and elliptic curves, in *Effective Methods in Algebraic Geometry*, Birkh auser, 159-168, 1991.
- [15] H.W. Lenstra, Factoring integers with elliptic curves, *Annals of Mathematics*, 126, 649-673, 1987.
- [16] H.W. Lenstra, J. Pila and C. Pomerance, A hyperelliptic smoothness test. I, *Philosophical Transactions of the Royal Society of London A*, 345, 397-408, 1993.
- [17] J. van Lint and G. van der Geer, *Introduction to Coding Theory and Algebraic Geometry*, Birkh auser-Verlag, Basel, Germany, 1988.
- [18] B. Kaliski, A pseudorandom bit generator based on elliptic logarithms, *Advances in Cryptology { CRYPTO '86, Lecture Notes in Computer Science*, 293, Springer- Verlag, 84-103, 1987.
- [19] N. Koblitz, Elliptic curve cryptosystems, *Mathematics of Computation*, 48, 203-209, 1987.
- [20] N. Koblitz, Hyperelliptic cryptosystems", *Journal of Cryptology*, 1, 139-150, 1989.
- [21] A. Menezes, T. Okamoto, and S. Vanstone. Reducing elliptic curve logarithms to logarithms in a finite field. *IEEE Transactions on Information Theory*, 39:1639-1646, 1993.
- [22] D. Jian-zhi, C. Xiao-hui, and G. Qiong, "Design of Hyper Elliptic Curve Digital Signature," *International Conference on Information Technology and Computer Science*, vol. 2, no. 3, pp. 45-47, July 2009.
- [1] L. Adleman and M. Huang, *Primality Testing and Abelian Varieties over Finite Fields*, Lecture Notes in Mathematics, 1512, Springer-Verlag, Berlin, 1992.
- [2] L. Adleman, J. DeMarrais and M. Huang, A subexponential algorithm for discrete logarithms over hyperelliptic curves of large genus over  $GF(q)$ , *Theoret. Comput. Sci.* 226, 7–18, 1999.
- [3] H. Ahmadi, A. Afzali-Kusha, M. Pedram, and M. Mosaffa, A Flexible, Prime-Field, Genus 2 Hyperelliptic- Curve Cryptography Processor with Low Power Consumption and Uniform Power Draw, *ETRI Journal*, <http://dx.doi.org/10.4218/etrij.15.0114.0418>.
- [4] D. Le Brigand, Decoding of codes on hyperelliptic curves, *Eurocode '90, Lecture Notes in Computer Science*, 514, Springer-Verlag, 126-134, 1998.
- [5] K. Chatterjee, A. De, and D. Gupta, Mutual Authentication Protocol Using Hyperelliptic Curve Cryptosystem in Constrained Devices, *International Journal of Network Security*, Vol-15, No.1, PP.9-15, Jan. 2013.
- [6] Y. Driencourt and J. Michon, Elliptic codes over a field of characteristic 2, *Journal of Pure and Applied Algebra*, 45, 15-39, 1987.
- [7] A. Enge, P. Gaudry, A general framework for subexponential discrete logarithm algorithms, *Acta Arith.* 102 No1, 83–103, 2002.
- [8] A. Enge, Computing discrete logarithms in high-genus hyperelliptic Jacobians in provably subexponential time, *Math. Comp.* 71 No238, 729–742, 2002.
- [9] J. Fan, L. Batina, and I. Verbauwhede, "Light-weight Implementation Options for Curve-based





رضا علیمرادى هم‌اکنون به‌عنوان استادیار گروه ریاضی و علوم کامپیوتر دانشگاه قم فعالیت می‌کند. ایشان کارشناسی خود را در رشته ریاضی از دانشگاه بوعلی سینای همدان و کارشناسی ارشد و دکترای خود را در همین رشته از دانشگاه علم و صنعت دریافت کرده‌اند. علایق پژوهشی ایشان رمزنگاری در شبکه‌های حسگر بی‌سیم و رمزنگاری نامتقارن مبتنی بر منحنی‌های بیضوی، به‌ویژه طراحی و تحلیل پروتکل‌های تعیین هویت و توافق کلید است.

- [23] A. Menezes, Y-H. Wu, R. J. Zuccherato. An elementary introduction to hyperelliptic curves, Published as Technical Report CORR 96-19, Department of C&O, University of Waterloo, Ontario, Canada, November 1996.
- [24] V. Miller, Uses of elliptic curves in cryptography, Advances in Cryptology { Proceedings of Crypto '85, Lecture Notes in Computer Science, 218, Springer-Verlag, 417-426, 1986.
- [25] L. B. Oliveira, D. F. Aranha, E. Morais, F. Daguno, J. Lopez, and R. Dahab, TinyTate: Computing the Tate Pairing in Resource-Constrained Sensor Nodes, Proceedings of the Sixth IEEE International Symposium on Network Computing and Applications (NCA 2007), 318-323, 2007.
- [26] Colm Ó Héigeartaigh, Michael Scott -Pairing Calculation on Supersingular Genus 2 Curves Selected Areas in Cryptography - SAC 2006, LNCS, 2007.
- [27] J. Pelzi, Fast hyperelliptic curve cryptosystems for embedded microprocessors, Master's thesis, Ruhr-University of Bochum, 2002.
- [28] J. Pelzl, T. Wollinger, J. Guajardo, J. and C. Paar. Hyperelliptic Curve Cryptosystems: Closing the Performance Gap to Elliptic Curves. CHES 2003, LNCS 2779, 351-365. Springer, 2003.
- [29] J. Pelzl, T. Wollinger, C. Paar Special hyperelliptic curve cryptosystems of genus two: Efficient arithmetic and fast implementation, Embedded Cryptographic Hardware: Design and Security, Nova Science Publishers, 2004.
- [30] J. Pelzi, T. Wollinger, C. Paar, Low Cost Security: Explicit Formulae For Genus-4 Hyperelliptic curves, 2004.
- [31] N. The'riault, Index calculus attack for hyperelliptic curves of small genus, Advances in Cryptology – Asiacrypt 2003, Lecture Notes in Comput. Sci., vol. 2894, Springer-Verlag, Berlin, 75-92, 2003.
- [32] V. Vijayalakshmi, R. Sharmila, R. Shalini, Hierarchical key management scheme using Hyper Elliptic Curve Cryptography in Wireless Sensor Networks, 3rd International Conference on Signal Processing, Communication and Networking (ICSCN), 2015, DOI: 10.1109/ICSCN.2015.7219840.
- [33] T. Wollinger, J. Pelzl, V. Wittelsberger, C. Paar, G. Saldamli, and, Elliptic & Hyperelliptic Curves on Embedded Platform, ACM Transactions in Embedded Computing Systems (TECS), vol. 3, no. 3, 509-533, 2004.
- [34] T. Wollinger, Software and Hardware Implementation of Hyperelliptic Curve Cryptosystems. PhD thesis, Department of Electrical Engineering and Information Sciences, Ruhr-Universität Bochum, Bochum, Germany, 2004.